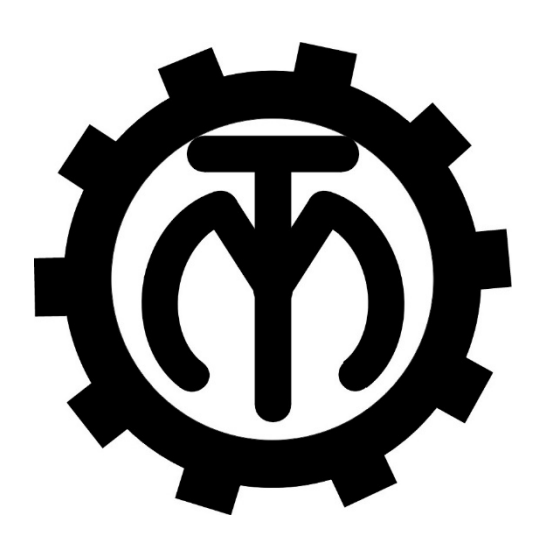
МЕЖГОСУДАРСТВЕННОЕ ОБРАЗОВАТЕЛЬНОЕ УЧРЕЖДЕНИЕ ВЫСШЕГО ОБРАЗОВАНИЯ «БЕЛОРУССКО-РОССИЙСКИЙ УНИВЕРСИТЕТ»

Кафедра «Технология машиностроения»

ОСНОВЫ ТЕХНОЛОГИИ МАШИНОСТРОЕНИЯ

Методические рекомендации к практическим занятиям для студентов специальности 6-05-0714-02 «Технология машиностроения, металлорежущие станки и инструменты» дневной и заочной форм обучения



Могилев 2025

УДК 621.01:519.6 ББК 34.5:22.18 О34

Рекомендовано к изданию учебно-методическим отделом Белорусско-Российского университета

Одобрено кафедрой «Технология машиностроения» «24» апреля 2025 г., протокол № 14

Составители: канд. техн. наук, доц. А. В. Капитонов; В. С. Дроздов

Рецензент А. С. Федосенко

Методические рекомендации содержат краткие теоретические положения с примерами решения задач для практических занятий в соответствии с рабочей программой дисциплины «Основы технологии машиностроения», а также условия задач с необходимыми справочными данными и литературой.

Учебное издание

ОСНОВЫ ТЕХНОЛОГИИ МАШИНОСТРОЕНИЯ

Ответственный за выпуск В. М. Шеменков

Корректор А. А. Подошевко

Компьютерная верстка Н. П. Полевничая

Издатель и полиграфическое исполнение: Межгосударственное образовательное учреждение высшего образования «Белорусско-Российский университет». Свидетельство о государственной регистрации издателя, изготовителя, распространителя печатных изданий № 1/156 от 07.03.2019. Пр-т Мира, 43, 212022, г. Могилев.

© Белорусско-Российский университет, 2025

Содержание

1 Цель и задачи практических занятий	4
2 Практическое занятие № 1. Определение типа производства по массе	
детали и объему выпуска и по коэффициенту закрепления операций	4
3 Практическое занятие № 2. Анализ теоретических схем базирования.	
Расчет погрешностей базирования, закрепления и установки заготовок при	
обработке методом автоматического получения размеров	9
4 Практическое занятие № 3. Расчет параметров настройки технологи-	
ческих систем	13
5 Практическое занятие № 4. Расчет случайных и систематических по-	
грешностей механической обработки. Расчет суммарной погрешности об-	
работки	14
6 Практическое занятие № 5. Статистические методы исследования	
точности обработки. Законы рассеяния параметров. Определение вероят-	
ного количества брака при различных законах распределения	17
7 Практическое занятие № 6. Размерный анализ технологических про-	
цессов	21
8 Практическое занятие № 7. Расчет припусков на механическую об-	
работку	24
9 Практическое занятие № 8. Назначение и расчет режимов резания.	
Техническое нормирование станочных работ	31
Список литературы	34
Приложение А	35

1 Цель и задачи практических занятий

Цель практических занятий — закрепление знаний теоретических основ технологии машиностроения как науки о создании машин требуемого качества в необходимом количестве при минимальных затратах различных ресурсов.

Задачами практических занятий является освоение принципов и методов анализа действующих и проектирование новых, более эффективных технологических процессов обработки деталей и сборки машин.

2 Практическое занятие № 1. Определение типа производства по массе детали и объему выпуска и по коэффициенту закрепления операций

В зависимости от номенклатуры, регулярности, стабильности и объема выпуска изделий современное производство подразделяется на единичное, серийное и массовое [1, 2, 6, 7, 10].

Единичное производство характеризуется широкой номенклатурой и малым объемом выпуска изделий. На предприятиях единичного производства количество выпускаемых изделий исчисляется штуками и десятками штук, на рабочих местах выполняются разнообразные технологические операции, повторяющиеся нерегулярно или не повторяющиеся совсем.

Массовое производство характеризуется узкой номенклатурой и большим объемом выпуска изделий, непрерывно изготовляемых в течение продолжительного времени.

Серийное производство характеризуется ограниченной номенклатурой изделий, изготовляемых периодически повторяемыми партиями. Различают мелкосерийное, среднесерийное и крупносерийное производство. По всем технологическим и производственным признакам серийное производство занимает промежуточное положение между единичным и массовым. При этом мелкосерийное производство близко к единичному, а крупносерийное к массовому.

При проектировании технологического процесса необходимо установить тип производства. На начальной стадии его устанавливают ориентировочно, по массе детали и заданному объему выпуска, используя данные, приведенные в таблице 2.1.

Таблица 2.1 – Определение типа производства по массе детали и заданному годовому объему выпуска деталей

Тип	Количество обрабатываемых в год деталей одного наименования							
производства	массой св. 30 кг	массой до 8 кг						
1	2	3	4					
Единичное	< 5	< 10	< 100					
Мелкосерийное	5100	10200	100500					

Окончание	таблины	2	1
Окончанис	таолицы	۷.	1

1	2	3	4
Среднесерийное	100300	200500	5005000
Крупносерийное	3001000	5005000	500050000
Массовое	> 1000	> 5000	> 50000

После разработки технологического процесса, расчета норм времени по операциям и числа рабочих мест тип производства уточняют по коэффициенту закрепления операций по формуле (ГОСТ 3.1121–84)

$$K_{3.0} = \frac{\sum O_i}{\sum P_i},$$
 (2.1)

где $\sum O_i$ – суммарное число различных операций;

 $\sum P_i$ – суммарное число рабочих мест по операциям.

Для нахождения числа рабочих мест определяют расчетное количество станков по операциям:

$$m_{\mathrm{p}i} = \frac{N \cdot t_{\mathrm{IIIT}(\mathrm{III}-\mathrm{K})}}{60 \cdot F_{\pi} \cdot \eta_{\mathrm{3.H}}},\tag{2.2}$$

где N – годовой объем выпуска изделий, шт.;

 $t_{\text{шт(ш-к)}}$ — штучное (штучно-калькуляционное) время на операции, мин;

 $F_{_{\rm I\! I}}$ – действительный годовой фонд времени, принимается при двухсменной работе (таблица 2.2), ч;

 $\eta_{_{3.H}}$ – нормативный коэффициент загрузки оборудования.

Таблица 2.2 – Фонд времени работы оборудования

Оборудование	Номинальный годовой фонд времени, ч	Действительный годовой фонд времени, ч
Металлорежущие станки 1–30 категорий ремонт-	4154	4029
ной сложности		
Металлорежущие станки св. 30 категории ре-	4154	3904
монтной сложности		
Автоматические линии	4154	3738
Поточные линии	4154	3987
Рабочие места без сложного оборудования (верстаки, столы)	4154	4154

Нормативный коэффициент загрузки оборудования принимают:

- для мелкосерийного производства $\eta_{3,H} = 0.8...0.9$;
- для среднесерийного $\eta_{3.H} = 0.75...0.85$;
- для массового и крупносерийного $\eta_{_{3.H}} = 0,65...0,75$.

При расчетах можно принимать усредненное значение $\eta_{3H} = 0.75...0.8$.

Расчетное количество станков по операциям округляют до ближайшего большего целого числа и получают принятое количество станков $m_{\text{пр}i}$, при этом $\sum P_i = \sum m_{\text{пр}i}$.

Фактический коэффициент загрузки оборудования по операциям

$$\eta_{3.\phi.i} = \frac{m_{\mathrm{p}i}}{m_{\mathrm{np}i}}.\tag{2.3}$$

Количество операций, которые можно выполнить на каждом рабочем месте, определяется из выражения

$$O_i = \frac{\eta_{3.H}}{\eta_{3.\phi.i}}.$$
 (2.4)

Рассчитанный коэффициент закрепления операций сравнивают с его нормативным значением и уточняют тип производства. Нормативные коэффициенты закрепления операций приведены в таблице 2.3.

Таблица 2.3 – Нормативные коэффициенты закрепления операций

Тип производства	Коэффициент закрепления операций
Массовое	K _{3.0} ≤ 1
Крупносерийное	$1 < K_{3.0} \le 10$
Среднесерийное	$10 < K_{3.0} \le 20$
Мелкосерийное	$20 < K_{3.0} \le 40$
Единичное	K _{3.0} > 40

Пример — Определить тип производства для технологического процесса механической обработки вала массой 6,5 кг при годовом объеме выпуска 2300 шт., $F_{\pi} = 4029$ ч. Технологический процесс состоит из четырех операций (05 — фрезерно-центровальная; 10 — токарная; 15 — фрезерная; 20 — круглошлифовальная), для которых определено штучно-калькуляционное время: 05 — $t_{\text{шт-к1}} = 3,2$ мин; $10 - t_{\text{шт-к2}} = 4,2$ мин; $15 - t_{\text{шт-к3}} = 7$ мин; $20 - t_{\text{шт-к4}} = 4,1$ мин.

Решение

По таблице 2.1 ориентировочно устанавливаем тип производства — среднесерийное. Уточняем тип производства по коэффициенту закрепления операций.

Расчетное количество станков с учетом $F_{\pi} = 4029$ ч. и $\eta_{3.H} = 0.75$: – для операции 05

$$m_{\rm pl} = \frac{2300 \cdot 3.2}{60 \cdot 4029 \cdot 0.75} = 0.04$$
;

– для операции 10

$$m_{\rm p2} = \frac{2300 \cdot 4.2}{60 \cdot 4029 \cdot 0.75} = 0.05;$$

– для операции 15

$$m_{\rm p3} = \frac{2300 \cdot 7}{60 \cdot 4029 \cdot 0.75} = 0.09$$
;

– для операции 20

$$m_{\rm p4} = \frac{2300 \cdot 4,1}{60 \cdot 4029 \cdot 0.75} = 0.05$$
.

Принятое количество станков по операциям:

$$m_{\text{np1}} = 1;$$
 $m_{\text{np2}} = 1;$ $m_{\text{np3}} = 1;$ $m_{\text{np4}} = 1.$

Суммарное число рабочих мест

$$\sum P_i = m_{\text{IID}1} + m_{\text{IID}2} + m_{\text{IID}3} + m_{\text{IID}4} = 1 + 1 + 1 + 1 = 4$$
.

Определяем фактические коэффициенты загрузки:

– для операции 05

$$\eta_{3,\phi.1} = \frac{m_{\rm p1}}{m_{\rm np1}} = \frac{0.04}{1} = 0.04;$$

– для операции 10

$$\eta_{3.\phi.2} = \frac{m_{\rm p2}}{m_{\rm np2}} = \frac{0.05}{1} = 0.05;$$

– для операции 15

$$\eta_{\text{3.ϕ.}3} = \frac{m_{\text{p3}}}{m_{\text{np3}}} = \frac{0.09}{1} = 0.09;$$

– для операции 20

$$\eta_{3.\phi.4} = \frac{m_{\rm p4}}{m_{\rm np4}} = \frac{0.05}{1} = 0.05.$$

Определяем число операций, которые можно выполнить на каждом рабочем месте:

– для операции 05

$$O_1 = \frac{\eta_{3.H}}{\eta_{3.h1}} = \frac{0.75}{0.04} = 18.75;$$

– для операции 10

$$O_2 = \frac{\eta_{3.H}}{\eta_{3.d2}} = \frac{0.75}{0.05} = 15;$$

– для операции 15

$$O_3 = \frac{\eta_{3.H}}{\eta_{3.\phi3}} = \frac{0.75}{0.09} = 8.33;$$

– для операции 20

$$O_4 = \frac{\eta_{3.H}}{\eta_{3.04}} = \frac{0.75}{0.05} = 15.$$

Суммарное число операций

$$\sum O_i = O_1 + O_2 + O_3 + O_4 = 18,75 + 15 + 8,33 + 15 = 57,08$$
.

Коэффициент закрепления операций для рассматриваемого технологического процесса

$$K_{3.0} = \frac{57,08}{4} = 14,27$$
.

Сравниваем расчетное значение коэффициента с нормативным (см. таблицу 2.3), окончательно принимаем тип производства — среднесерийный.

Задание

Определить по таблице 2.4 и уточнить по коэффициенту закрепления операций тип производства при обработке зубчатого колеса массой 15 кг. Данные приведены в таблице 2.4.

Штучное (штучно-Действительный Номер Головой объем Вариант калькуляционное) годовой фонд операции выпуска, шт. время обработки, мин времени, ч

Таблица 2.4 – Исходные данные для выполнения задания

3 Практическое занятие № 2. Анализ теоретических схем базирования. Расчет погрешностей базирования, закрепления и установки заготовок при обработке методом автоматического получения размеров

Заготовка детали в процессе обработки должна занять и сохранять в течение всего времени обработки определенное положение относительно деталей станка или приспособления. Для этого необходимо исключить возможность трех прямолинейных движений заготовки в направлении выбранных координатных осей и трех вращательных движений вокруг этих или параллельных им осей (т. е. лишить заготовку детали шести степеней свободы).

На заготовках деталей, имеющих форму прямоугольного параллелепипеда, три опорные точки целесообразно размещать на поверхности, отличающейся наибольшими размерами, две — на поверхности, отличающейся наибольшим протяжением, одну — на поверхности, отличающейся наименьшими размерами.

Поверхность или выполняющее ту же функцию сочетание поверхностей,

ось, точка, принадлежащая заготовке и используемая для базирования, называются $\delta aso \check{u}$.

Базу, лишающую заготовку детали трех степеней свободы, называют *установочной*. В качестве установочной базы выбирают поверхность или сочетание координатных поверхностей с наибольшими размерами.

По назначению и области применения базы подразделяются на конструкторские, сборочные, технологические, измерительные [1, 6, 7, 10].

Конструкторская база – база, используемая для определения положения детали или сборочной единицы в изделии. Конструкторские базы бывают основные и вспомогательные.

Технологическая база — поверхность, линия или точка, используемая для определения положения заготовки или изделия в процессе изготовления или ремонта. Технологические базы бывают контактные, настроечные, проверочные.

Базу, используемую для определения относительного положения заготовки или изделия и средств измерения, называют *измерительной*.

Погрешностью базирования называется отклонение фактически достигнутого положения заготовки при базировании от требуемого. Эта погрешность имеет место при несовмещении измерительной и установочной баз заготовки и не является абстрактной величиной, а относится к конкретному размеру при данной схеме установки.

Закреплением называется приложение сил и пар сил к заготовке для обеспечения постоянства ее положения, достигнутого при базировании.

Установкой называется процесс базирования и закрепления заготовки.

Погрешностью установки называется отклонение фактически достигнутого положения заготовки при установке от требуемого.

В технологической документации на операционных эскизах базовые поверхности отмечают условными обозначениями, некоторые из которых представлены в таблице 3.1.

Пример — Обозначить на эскизе вала технологические установочные базы с помощью условных обозначений, указать конструкторские и измерительные базы при точении торца вала (рисунок 3.1) на токарно-винторезном станке. Вал устанавливается в трехкулачковом самоцентрирующемся патроне с упором в торец. Рассчитать погрешность базирования и погрешность установки для размеров A, E, e.

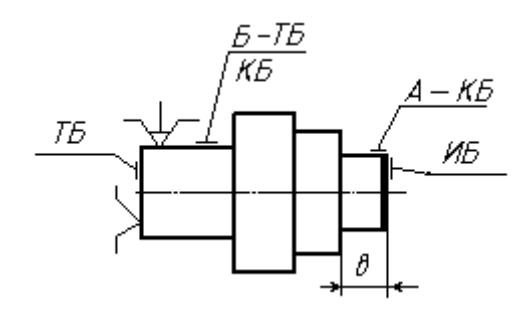


Рисунок 3.1 – Эскиз вала

Таблица 3.1 – Условные обозначения опор, зажимов и установочных устройств (ГОСТ 3.1107–81)

Наименование	Обозна- чение (вид сбоку)	чение (вид Наименование		Наименование	Обозна- чение (вид сбоку)
Опора неподвижная		Опора подвиж- ная	\leq	Центр непо- движный (гладкий)	≯
Опора плаваю- щая	*	Опора регули- руемая	4	Центр плаваю- щий	₩
Люнет непо- движный		Люнет подвиж- ный		Центр рифле- ный	×
Патроны 2-, 3- и 4-кулачковые с механическим зажимом	-√²-√² -ñ	Опора непо- движная с приз- матической ра- бочей поверхно- стью (призма)	\ \	Центр обратный вращающийся с рифленой поверхностью	×==
Патрон поводко- вый	1	Оправка ци- линдрическая гладкая	<u> </u>	Центр вращаю- щийся	≫
Патрон (зажим) магнитный, электромагнитнын ный	₩	Оправки ци- линдрическая резьбовая и шлицевая		Зажим одиночный механический]A-
Патроны и оправки цанговые		Патроны и оправки с гидропластовым зажимом	*	Зажим сблокированный двойной (механический)	

Решение

По таблице А.2 определяем, что при установке цилиндрической детали в трехкулачковом самоцентрирующемся патроне погрешность базирования и установки при обработке наружных цилиндрических поверхностей для размеров A и B равна нулю, т. к. технологические и измерительные базы (наружные цилиндрические поверхности) в данном случае совпадают.

Для размера ε по таблице A.2 определяем, что погрешность базирования равна Δ_L допуску на размер длины вала от левого торца до размера ε , погрешность закрепления равна нулю, т. к. сила закрепления направлена перпендикулярно направлению выполняемого размера, погрешность установки равна погрешности базирования Δ_L .

При установке в патроне вал закрепляется по наружной цилиндрической поверхности с упором в торец, т. е. эти поверхности являются технологическими установочными базами (ТБ). В то же время готовый вал при сборке будет устанавливаться по крайним ступеням А и Б, т. е. эти поверхности являются конструкторскими базами (КБ). Крайний правый торец является измерительной базой (ИБ), т. к. от него производится измерение размера в.

Задание

Проставить на эскизе детали технологические установочные базы условными обозначениями, указать конструкторские и измерительные базы при выполнении заданного вида обработки детали (рисунок 3.2), если указан способ базирования заготовки. Определить или рассчитать, используя таблицу А.2, погрешность базирования, закрепления и установки заготовки при выполнении заданного размера. Номер способа базирования выбрать по таблицам 3.2 и 3.3.

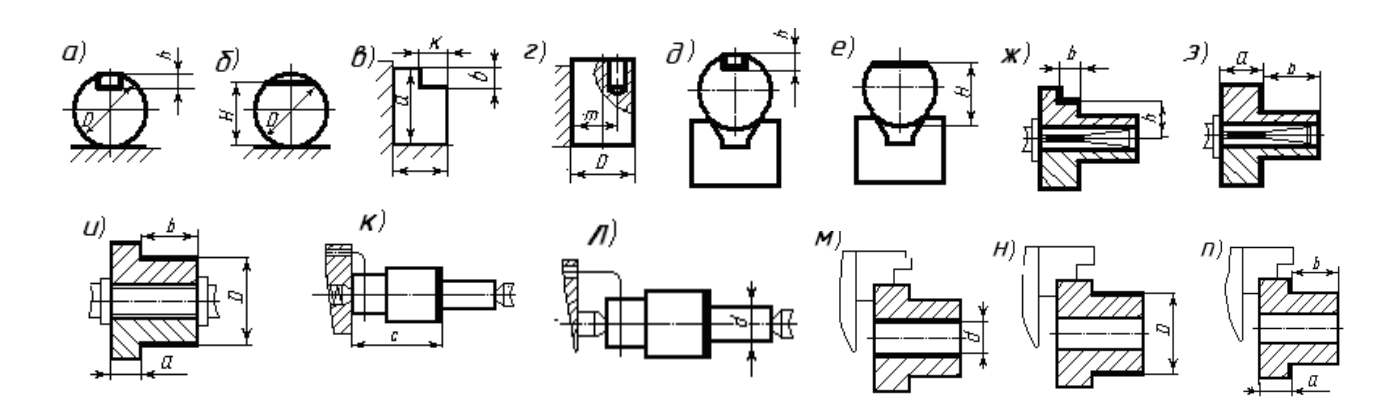


Рисунок 3.2 – Эскизы деталей к заданию

Таблица 3.2 – Варианты заданий

Номер варианта	1	2	3	4	5	6	7	8	9	10
Номер спо-	1, 8, 11	2, 10, 15	3, 14, 7	4, 9, 12	5, 7, 11	8, 1, 11	2, 10, 16	7, 5, 14	8, 11, 13	6, 8, 14
соба базиро- вания	10, 5,	6, 9, 12	16, 1, 8	7, 5, 14	3, 5,	12, 3, 1	5, 9, 11	8, 7, 14	16, 10, 11	12, 5, 1

Таблица 3.3 – Способы базирования заготовок

Номер способа базирова- ния	Способ базирования заготовки и вид обработки	Задан- ный размер	Номер ри- сунка
	По внешней поверхности на плоскости		
1	При фрезеровании паза, $D = 100 f$ 9	h	3.2, <i>a</i>
2	При фрезеровании лыски, $D = 40 h6$	H	3.2, <i>б</i>
3	При фрезеровании уступа, $a = 40 \ h9$, $e = 30 \ h9$	κ	3.2, <i>e</i>
4	При фрезеровании уступа, $a = 40 \ h9$, $e = 30 \ h9$	в	3.2, <i>e</i>
5	При сверлении отверстия, параллельного оси детали по кон-	m	3.2, <i>z</i>
	дуктору, $D = 60 u8$		
	По внешней поверхности в призме (α = 90°)		
6	При фрезеровании паза, $D = 100 f7$	h	3.2, ∂
7	При фрезеровании лыски, $D = 7 h8$	Н	3.2, <i>e</i>

4 Практическое занятие № 3. Расчет параметров настройки технологических систем

Известны два вида настройки станков — статическая и динамическая [1, 2, 4, 6-8, 10].

Динамическая настройка может осуществляться по пробным деталям, по рабочему калибру, а также по пробным деталям с помощью универсального мерительного инструмента.

Статическая настройка станков на размер осуществляется по калибрам, эталонам, которые располагаются на станке на месте обрабатываемой детали. Инструмент доводится до соприкосновения с поверхностью калибра и закрепляется.

При статической настройке станка в связи с упругими деформациями в технологической системе, температурного воздействия и других факторов размер обработанного изделия оказывается больше (для валов) или меньше (для отверстий) требуемого. Поэтому настроечный размер установочного калибра определяют по формуле

$$L_{\rm H} = L_{\rm p} \pm \Delta, \tag{4.1}$$

где L_p – расчетный размер;

 Δ — поправка, учитывающая деформацию упругой системы и шероховатость поверхности по которой производится настройка, определяется опытным путем.

При динамической настройке используют универсальный мерительный инструмент или калибры. Настройка технологической системы включает установку режущего инструмента, рабочих органов станка, приспособления в положение, которое обеспечивает получение заданного размера с установленным допуском на изготовление.

Поле рассеяния положений инструмента при настройке называют погрешностью настройки на размер $\varepsilon_{\rm H}$. Эта погрешность равна разности предельных значений установочных размеров. Она зависит от погрешности регулирования положения инструмента $\varepsilon_{\rm p}$ (по лимбу, эталону, жёсткому упору) с поправочным коэффициентом $k_{\rm p}$ и погрешности измерения размера детали $\varepsilon_{\rm изм}$ с поправочным коэффициентом $k_{\rm изм}$:

$$\varepsilon_{\rm H} = \sqrt{\left(k_{\rm p}\varepsilon_{\rm p}\right)^2 + \left(k_{\rm H3M}\varepsilon_{\rm H3M}\right)^2} \ . \tag{4.2}$$

Задание

Выбрать мерительный инструмент, параметры настройки технологической системы, используя рекомендации и справочные материалы [4, 7, 8, 10], и рассчитать погрешность настройки для обработки поверхности детали на технологической операции по формуле (4.2). Эскизы деталей со способами обработки и регулирования положения режущего инструмента дает преподаватель. Под руководством преподавателя и инженера лаборатории провести настройки токарного и фрезерного станков для обработки деталей.

5 Практическое занятие № 4. Расчет случайных и систематических погрешностей механической обработки. Расчет суммарной погрешности обработки

Погрешности механической обработки вызываются различными причинами систематического и случайного характера [1, 4, 6–8, 10].

К систематическим погрешностям относятся:

- погрешности, возникающие вследствие неточности, износа, деформации станков;
- погрешности, связанные с неточностью и износом режущего инструмента;
 - погрешности формы, возникающие под влиянием зажима заготовки;
- погрешности, обусловленные температурными деформациями технологической системы и др.

Систематические погрешности для всех заготовок обрабатываемой партии остаются постоянными или закономерно изменяются при переходе от одной обрабатываемой заготовки к следующей и могут быть заранее учтены, например, погрешность от износа режущего инструмента $\Delta_{\rm u}$.

Случайные погрешности, в отличие от систематических, имеют для разных заготовок различные значения, что приводит к рассеянию размеров заготовок, обработанных при одних и тех же условиях.

Эти погрешности и вызываемые ими рассеяния размеров включают:

— погрешность Δ_{cn} , связанную с видом обработки, и поле ее рассеяния ω_{cn} . Возникновение погрешности Δ_{cn} связано с такими технологическими факторами случайного характера, как неравномерность припуска, неодинаковая твердость

материала заготовки, недостаточная жесткость технологической системы, а также погрешность формы детали;

- погрешность установки ε_y , состоящую из трех слагаемых (погрешность базирования Δ_6 , погрешность закрепления Δ_3 , погрешность приспособления Δ_{np}), и поле ее рассеяния ω_y ;
 - погрешность настройки $\Delta_{\rm H}$ и поле ее рассеяния $\omega_{\rm H}$. При этом

$$\Delta_{\rm H} = \sqrt{\Delta_{\rm per}^2 + \Delta_{\rm изм}^2 + \Delta_{\rm смещ}^2} , \qquad (5.1)$$

где Δ_{per} – погрешность регулирования;

 $\Delta_{\text{изм}}$ – погрешность измерения пробных заготовок;

 $\Delta_{\text{смещ}}$ – погрешность, вызываемая смещением центра группирования размеров пробных деталей относительно середины поля рассеяния размеров.

$$\Delta_{\text{cMeIII}} = \Delta_{\text{CJI}} / \sqrt{m} \,, \tag{5.2}$$

где m — число пробных заготовок, по которым производится настройка станка.

Следует заметить, что $\Delta_{\text{смещ}}$ учитывается лишь при динамической настройке по пробным заготовкам.

Суммарная погрешность обработки

$$\Delta_{\text{oбp}} = \Delta_{\text{H}} + \sqrt{\Delta_{\text{ch}}^2 + \Delta_{\text{H}}^2 + \varepsilon_{\text{y}}^2}.$$
 (5.3)

Необходимый справочный материал для расчета суммарной погрешности обработки приведен в [1-4].

Пример — Определить точность обтачивания цилиндрической ступени вала \emptyset 60_{–0,2} длиной 100 мм на токарном станке для партии деталей 40 шт. в условиях массового производства. Материал детали — сталь 45.

Условия обработки: резец с пластинкой из твердого сплава T30K4; подача $S_0 = 0.1$ мм/об; настройка по пробным деталям, m = 5 шт., настройка проводится с помощью микрометра, регулировка размеров по лимбу станка с ценой деления 0.05 мм; установка в центрах; длина обработки с учетом врезания и перебега L = 110 мм. При расчете из систематических погрешностей учесть только погрешность, возникающую вследствие износа инструмента.

Решение

Для расчета используем справочные данные, приведенные в [7].

Суммарную погрешность обработки в этом случае рассчитаем по формуле (5.3).

Определим погрешность, вызванную износом резца:

$$\Delta_{\rm H} = \frac{2 \cdot u_{\rm o} \cdot l}{1000},\tag{5.4}$$

где $u_{\rm o}$ — относительный износ резца, $u_{\rm o}$ = 6,5 мкм/км [7, таблица 2.1]; l — путь резания.

$$l = \frac{\pi \cdot D \cdot L \cdot n}{1000 \cdot S_0} \quad , \tag{5.5}$$

где L – длина обработки (рабочего хода инструмента), L = 110 мм; n – величина партии деталей, n = 40 шт.;

$$l = \frac{3,14 \cdot 60 \cdot 110 \cdot 40}{1000 \cdot 0,1} = 8290 \text{ M}.$$

Тогда

$$\Delta_{\text{M}} = \frac{2 \cdot 6.5 \cdot 8290}{1000} = 108 \text{ MKM}.$$

Значение случайной (мгновенной) погрешности $\Delta_{\rm cn}$ рекомендуется принимать по [7] 0,013...0,036 мм, принимаем $\Delta_{\rm cn}$ = 32 мкм.

Погрешность настройки находим по формуле (5.1), при этом

$$\Delta_{\text{смещ}} = \frac{\Delta_{\text{сл}}}{\sqrt{m}} = \frac{32}{\sqrt{5}} = 14,3 \text{ MKM}.$$

При $\Delta_{\text{per}} = 50$ мкм (по лимбу станка с ценой деления $0{,}05$ мм) $\Delta_{\text{изм}} = 14$ мкм [7]

$$\Delta_{_{\mathrm{H}}} = \sqrt{14,3^2 + 50^2 + 14^2} = 54 \text{ MKM}.$$

Погрешность установки $\Delta_y = 0$ при установке в центрах. Суммарная погрешность обработки

$$\Delta_{\text{off}} = 108 + \sqrt{32^2 + 54^2} = 171 \text{ MKM}.$$

Сравнивая $\Delta_{\text{обр}}$ с точностью заданного размера (Td=0.2 мм), можно сделать вывод, что в данных условиях требуемая точность обработки партии деталей 40 шт. без поднастройки будет обеспечена, т. к. $\Delta_{\text{обр}} < Td$.

Задание

Определить, будет ли выдерживаться допуск обрабатываемой поверхности d. Партия заготовок обрабатывается в центрах на токарном станке. Обработка осуществляется при подаче $S_{\rm o}=0.15$ мм/об. Настройка инструмента на размер ведется по пробным деталям, m=4 шт. с применением микрометра, регулировка размеров по лимбу станка с ценой деления 0.05 мм. Принять $\Delta_{\rm изм}=14$ мкм. Остальные данные приведены в таблице 5.1.

Номер	Обрабатываемый	Длина обра-	Величина	Относительный износ
варианта	диаметр, мм	ботки L , мм	партии, шт.	резца u_0 , мкм/км
1	40_0,12	60	80	
2	$40_{-0,2}$	80	60	3
3	35-0,1	40	50	
4	30-0,15	80	40	
5	40_0,3	100	80	4,7
6	38-0.2	85	70	

Таблица 5.1 – Исходные данные к заданию

6 Практическое занятие № 5. Статистические методы исследования точности обработки. Законы рассеяния параметров. Определение вероятного количества брака при различных законах распределения

Оценку качества продукции или оценку точности технологических операций наиболее часто проводят методами статистического анализа [1, 4, 6–8, 10]. Существует ряд законов, которым подчиняются случайные погрешности, возникающие в процессе механической обработки деталей.

Закону нормального распределения (закону Гаусса) подчиняются все случайные величины, на которые оказывает влияние большое число факторов. Как правило, этот закон оказывается справедлив при механической обработке заготовок с точностью 8...10-го квалитетов и грубее. При более точной обработке распределение размеров в большинстве случаев подчиняется другим законам: закону Симпсона (закону равнобедренного треугольника), закону равной вероятности, закону эксцентриситета (закону Релея), закону модуля разности. Во многих случаях опытные кривые распределения близки к теоретическим кривым нормального распределения (кривым Гаусса).

Статистическая оценка точности деталей позволяет управлять технологическими процессами их изготовления, т. е. управлять влиянием случайных погрешностей на точность обработки.

Основными характеристиками любого закона распределения параметров технологического процесса (например, рассеяния размеров при обработке деталей) являются среднее значение \overline{X} и среднее квадратическое отклонение S. Рассмотрим, как, имея эти характеристики, сделать заключение о точности той или

иной операции по количеству вероятного брака. Среднее значение \overline{X} является центром группирования исследуемого параметра, а среднее квадратическое отклонение S характеризует размах (рассеяние) этого параметра. При этом поле рассеяния контролируемого параметра определяется соотношением

$$\omega = l \cdot S, \tag{6.1}$$

где l – коэффициент, зависящий от закона распределения значений параметров.

Для закона Гаусса l=6, для закона Симпсона l=4,90, для закона равной вероятности l=3,46.

Знание статистических характеристик позволяет в первую очередь определить вероятное количество брака. На рисунке 6.1 показана схема для определения вероятного количества брака на примере закона нормального распределения (закона Гаусса). Брак невозможен в том случае, если допуск какого-либо параметра TD больше поля рассеяния этого параметра, вызванного действием случайных факторов, т. е. $TD \ge \omega$.

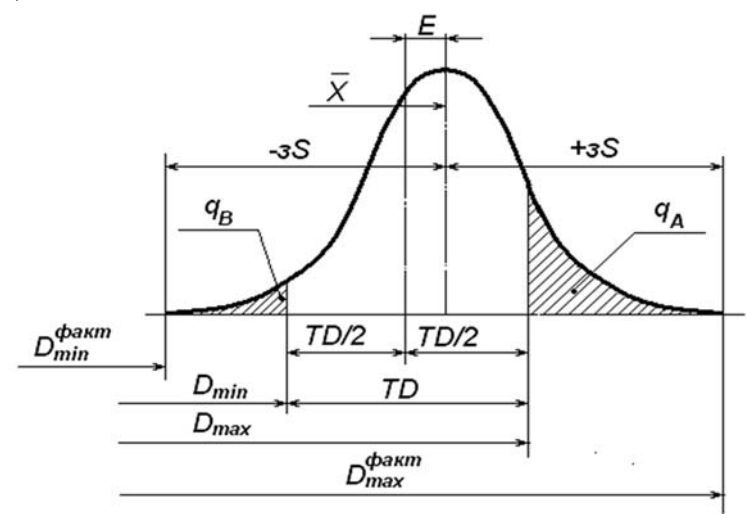


Рисунок 6.1 – Схема для определения вероятного количества брака

Это справедливо только в том случае, если среднее значение \overline{X} совпадает с серединой поля допуска исследуемого параметра. На практике часто случается, что \overline{X} не совпадает с серединой поля допуска. Имеет место смещение E. Тогда, несмотря на то, что $TD \geq \omega$, возможно появление как исправимого, так и неисправимого брака, в зависимости от того, положительное или отрицательное это смещение и выполняется обработка вала или отверстия.

В общем случае необходимо анализировать положение середины поля допуска по значениям $D_{\rm cp}$ и центра группирования \overline{X} .

Середину поля допуска определяют по предельным размерам деталей D_{\max} и D_{\min} :

$$D = \frac{D_{\text{max}} + D_{\text{min}}}{2}.$$
 (6.2)

Центр группирования \overline{X} (центр распределения) рассчитывают при известных значениях E и $D_{\rm cp}$ по соотношению

$$\overline{X} = D_{\rm cp} \pm E. \tag{6.3}$$

В этой зависимости величина E смещения \overline{X} от $D_{\rm cp}$ принимается обязательно с учетом знака.

На рисунке 6.1 показан случай появления брака, когда имеют место как смещение E, так и невыполнение условия $TD \ge \omega$. Это приводит к тому, что количество бракованных изделий справа больше, чем слева. Вся площадь под кривой, ограниченная по оси абсцисс допуском, характеризует собой годные детали.

Процент брака может быть определен как табличным методом, так и по формулам

$$q_A = \left[0.5 - \Phi\left(\frac{D_{\text{max}} - \overline{X}}{S}\right)\right] \cdot 100\%; \tag{6.4}$$

$$q_B = \left[0.5 - \Phi\left(\frac{D_{\min} - \overline{X}}{S}\right)\right] \cdot 100 \%, \tag{6.5}$$

где q_A — вероятный процент брака, исправимого для охватываемых и неисправимого для охватывающих поверхностей;

 q_B — вероятный процент брака, исправимого для охватывающих и неисправимого для охватываемых поверхностей.

Если обозначить

$$\frac{D_{\max} - \overline{X}}{S} = t; \qquad \frac{D_{\min} - \overline{X}}{S} = t_1,$$

где t и t_1 — аргументы функции Лапласа (функции распределения), то можно по таблице A.1 найти значения этой функции $\Phi(t)$ и определить общий процент бракованных деталей, который определяется суммой

$$Q = q_A + q_B. ag{6.6}$$

Для законов Симпсона и равной вероятности процент брака нельзя определять с помощью функции Лапласа. В этих случаях величины q_A и q_B рассчитываются на основе анализа подобия треугольников и прямоугольников.

Пример — Определить число годных деталей, исправимого и неисправимого брака при растачивании отверстий диаметром $D=130^{+0.1}$ мм в партии корпусных деталей 200 шт., если среднее квадратическое отклонение S=0.025 мм и смещения кривой распределения размеров относительно середины поля допуска не происходит (закон Гаусса).

Решение

Определим, имеет ли место брак. Поле рассеяния $\omega = 6S$, $\omega = 6 \cdot 0.025 = 0.15$ мм. TD = 0.1 мм, т. е. $\omega > TD$. Брак имеет место, а так как смещения кривой относительно середины поля допуска нет, то $q_A = q_B$.

Среднее значение \overline{X} лежит на середине поля допуска:

$$\overline{X} = D_{\text{cp}} = \frac{D_{\text{max}} + D_{\text{min}}}{2} = \frac{130,1 + 130}{2} = 130,05 \text{ mm}.$$

Следовательно,

$$\Phi(t) = \Phi\left(\frac{130,1-130,05}{0,025}\right) = \Phi(2).$$

Здесь t = 2.

По таблице значений функции Лапласа (см. таблицу А.1) находим $\Phi(2) = 0,4772$. Тогда $q_A = (0,5-0,4772) \cdot 100 = 2,28 %.$

Аналогично найдем $\Phi(t_1) = \Phi(2)$. Значение t_1 принимаем по модулю. Как и в предыдущем случае, $\Phi(2) = 0,4772$, тогда $q_B = (0,5-0,4772) \cdot 100 = 2,28 %.$

Таким образом, общий процент брака q = 2,28 + 2,28 = 4,56 %.

Для определения количества бракованных деталей составим пропорцию, приняв 200 деталей за 100 %:

200 - 100 %;

 $q_{A,B}$ – 4,56 %.

Отсюда $q_{AB} = (200 \cdot 4.56) / 100 = 9.12$ дет.

Количество исправимого брака (определится для внутренних поверхностей показателем q_B):

200 - 100 %;

 $q_B - 2.28 \%$.

Следовательно, $q_B = 4,56$. Принимаем $q_B = 5$ дет.

Количество неисправимого брака (определится для внутренних поверхностей показателем q_A):

200 - 100 %;

 $q_A - 2,28 \%$.

Отсюда $q_A = 5$ дет.

Окончательно имеем: число годных деталей — 190; неисправимый брак — 5 деталей; исправимый брак — 5 деталей.

Задание

Определить число годных деталей, исправимого и неисправимого брака при обработке партии деталей на настроенном станке, если задано среднее квадратическое отклонение S и смещение кривой распределения размеров относительно середины поля допуска (закон Гаусса). Исходные данные приведены в таблице 6.1.

Номер вари- анта	Выдерживаемый размер, мм	Величина партии, шт.	Смещение центра группирования <i>E</i> , мм	Среднее квадратическое отклонение S , мм	Вид поверхности
1	$40_{-0,16}$	400	+0,02	0,05	Вал
2	$30_{-0,1}$	300	+0,02	0,06	Вал
3	130+0,1	250	-0,02	0,03	Отверстие
4	120+0,046	200	0	0,02	Отверстие
5	30-0,15	450	+0,01	0,05	Вал

Таблица 6.1 – Задания для статистического анализа точности партии деталей

7 Практическое занятие № 6. Размерный анализ технологических процессов

Размерной цепью называется совокупность размеров, расположенных по замкнутому контуру. Все размеры деталей, составляющие размерную цепь, называют звеньями. Звенья цепи, кроме замыкающего, называют составляющими [1, 4, 6-8, 10].

Составляющие звенья делятся на увеличивающие и уменьшающие.

Увеличивающее звено – с его увеличением замыкающее звено увеличивается.

Уменьшающее звено при увеличении вызывает уменьшение замыкающего звена.

Линейная размерная цепь имеет все размеры, параллельные между собой и связанные линейной зависимостью.

Плоская размерная цепь содержит звенья, находящиеся в одной или нескольких параллельных плоскостях, которые могут быть спроектированы без изменения их величины на одну плоскость.

Пространственная размерная цепь состоит из звеньев, которые не параллельны и лежат в непараллельных плоскостях. Звенья могут быть спроектированы на три координатные плоскости. Пространственная размерная цепь может быть приведена к трем плоским размерным цепям. Если в плоской размерной цепи имеются звенья, расположенные под углом к выбранному направлению, то они проектируются на выбранное направление.

Прямая задача (проектный расчет). По заданным параметрам замыкающего звена определяются параметры составляющих звеньев. При этом по известным

предельным отклонениям и допуску замыкающего звена, называемому в этом случае исходным, рассчитывают допуски и предельные отклонения размеров составляющих звеньев.

Обратная задача (проверочный расчет). По известным параметрам составляющих звеньев определяются параметры замыкающего звена. При этом по известным номинальным размерам и их предельным отклонениям, допускам и характеристикам рассеяния размеров составляющих звеньев рассчитываются номинальный размер замыкающего звена, его допуск или поле рассеивания и предельные отклонения.

Технологические размерные цепи рассчитываются следующими способами:

- на максимум-минимум (метод полной взаимозаменяемости);
- вероятностным методом (метод неполной взаимозаменяемости);
- методом групповой взаимозаменяемости (при селективной сборке);
- с учетом регулирования размеров при сборке;
- с учетом пригонки размеров отдельных деталей при сборке.

Выбор способа расчета зависит от принятого в его основу метода достижения требуемой точности изделия.

Пример – Расчет размерных цепей на максимум-минимум.

Определить размер, допуски и предельные отклонения замыкающего звена размерной цепи (рисунок 7.1) A_0 , TA_0 , ESA_0 , EIA_0 , EcA_0 (обратная задача).

$$A_2 = 60_{-0,3}, A_3 = 20^{+0,13}$$
 — увеличивающие звенья. $A_1 = 35^{+0,16}, A_4 = 40^{+0,16}$ — уменьшающие звенья.

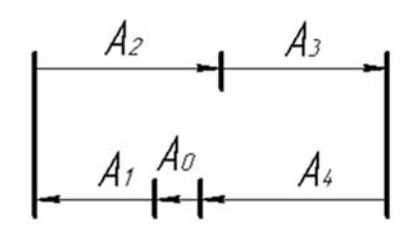


Рисунок 7.1 – Размерная цепь

Решение

Размер замыкающего звена определим по формулам

$$A_0 = (A_2 + A_3) - (A_1 + A_4);$$

$$A_0 = (60 + 20) - (35 + 40) = 5.$$
(7.1)

Допуск замыкающего звена

$$TA_0 = \sum_{i=1}^{m-1} TA_i ; (7.2)$$

$$TA_0 = 0.3 + 0.13 + 0.16 + 0.16 = 0.75.$$

Предельные отклонения составляющих звеньев

$$ES60 = 0$$
; $ES20 = 0.13$; $ES35 = 0.16$; $ES40 = 0.16$; $EI60 = -0.3$; $EI20 = 0$; $EI35 = 0$; $EI40 = 0$.

Предельные отклонения замыкающего звена

$$ESA_0 = \sum_{i=1}^n ES\overrightarrow{A_i} - \sum_{n+1}^{m-1} EI\overrightarrow{A_i}; \qquad (7.3)$$

$$EIA_0 = \sum_{i=1}^n EI\overrightarrow{A_i} - \sum_{n+1}^{m-1} ES\overleftarrow{A_i}.$$
 (7.4)

$$ESA_0 = (0 + 0.13) - (0 + 0) = +0.13;$$

$$EIA_0 = (-0.3 + 0) - (0.16 + 0.16) = -0.62.$$

Среднее отклонение замыкающего звена

$$E_c A_0 = ESA_0 - \frac{TA_0}{2}; (7.5)$$

$$E_c A_0 = 0.13 - \frac{0.75}{2} = -0.245 \text{ mm}.$$

Размер замыкающего звена

$$A_0 = 5^{+0.13}_{-0.62}$$
.

Задание

Определить допуски составляющих звеньев по известному допуску замыкающего звена (прямая задача) (см. рисунок 7.1).

$$A_2 = 60$$
; $A_3 = 20$; $A_1 = 35$; $A_4 = 40$; $A_0 = 5$; $A_0 = 5^{+0.13}_{-0.62}$.

8 Практическое занятие № 7. Расчет припусков на механическую обработку

Общим припуском на обработку называется слой материала, удаляемый с поверхности исходной заготовки в процессе механической обработки с целью получения готовой детали.

Операционный припуск — это слой материала, удаляемый с заготовки при выполнении одной технологической операции. Минимальное значение припуска определяется методом дифференцированного расчета по элементам, составляющим припуск. Различают минимальный, номинальный и максимальный припуски [1, 3, 4, 6–8, 10].

При расчете минимального промежуточного припуска (припуска на конкретную технологическую операцию или переход) учитывают следующие составляющие его элементы:

- высоту микронеровностей Rz_{i-1} , полученную на предшествующем переходе;
- состояние и глубину T_{i-1} поверхностного слоя заготовки в результате выполнения предшествующего перехода;
- пространственные отклонения ρ_{i-1} расположения обрабатываемой поверхности относительно баз заготовки;
 - погрешность установки ε_i при выполнении данного перехода.

Суммируя величины Rz_{i-1} , T_{i-1} , ρ_{i-1} и ε_i , получают минимальный припуск для технологического перехода.

Величина межоперационного припуска на диаметр (при обработке поверхностей вращения) удваивается. Припуск на диаметр при обработке наружных и внутренних поверхностей вращения

$$2Z_{i\min} = 2(Rz_{i-1} + T_{i-1} + \sqrt{\rho_{i-1}^2 + \varepsilon_i^2}). \tag{8.1}$$

При анализе конкретных переходов некоторые составляющие из общей формулы расчета припуска могут быть исключены. Так, при обтачивании цилиндрической поверхности заготовки, установленной в центрах, погрешность ε_i может быть принята равной нулю и, следовательно,

$$2Z_{i\min} = 2(Rz_{i-1} + T_{i-1} + \rho_{i-1}). \tag{8.2}$$

При шлифовании заготовок после термообработки поверхностный слой необходимо, по возможности, сохранить, следовательно, слагаемое T_{i-1} нужно исключить из расчетной формулы:

$$Z_{i\min} = Rz_{i-1} + \rho_{i-1} + \varepsilon_i.$$
 (8.3)

При расчете минимально необходимого припуска следует учитывать конкретные условия обработки. Зная минимальный межоперационный припуск, можно рассчитать его максимальное значение:

$$Z_{i\max} = T_{i-1} + Z_{i\min} + T_i, (8.4)$$

где T_{i-1} , T_i — допуски на размер поверхности, установленные для предыдущего и выполняемого технологических переходов.

На основании взаимосвязи между межоперационными припусками на обработку и полями допусков, устанавливаемых на промежуточные размеры, рассчитывают предельные размеры заготовки при выполнении любого технологического перехода, используя следующие соотношения:

для валов

$$d_{i \max} = d_{i-1\max} - 2Z_{i \min} - Td_{i-1}; \tag{8.5}$$

$$d_{i \min} = d_{i-1 \min} - 2Z_{i \min} - Td_i;$$
 (8.6)

– для отверстий

$$D_{i \max} = D_{i-1\max} + 2Z_{i \min} + TD_{i}; \tag{8.7}$$

$$D_{i\min} = D_{i-1\min} + 2Z_{i\min} + TD_{i-1}.$$
 (8.8)

По найденному размеру заготовки подбирают соответствующий размер (или прокатный профиль, если в качестве заготовки используется прокат) и корректируют припуск на черновую обработку. Припуски на чистовые и отделочные операции (переходы) оставляют такими же, какими они были найдены при проведении расчетов.

Отклонение оси детали от прямолинейности (кривизну) находят в зависимости от способа установки. При установке в центрах общее на длине L отклонение от прямолинейности (кривизна) определяется соотношением

$$\rho_{i-1} = \rho_{\kappa} = \Delta_{\kappa} L, \qquad (8.9)$$

а при консольном закреплении (в патроне) (где Δ_{κ} – кривизна оси заготовки на 1 мм длины, мкм) для проката выбирается по таблице A.3.

Суммарное значение нескольких отклонений расположения определяют как векторную сумму, если направления этих векторов неизвестны:

$$\rho_{i-1}^{\Sigma} = \sqrt{\rho_{i-1,1}^2 + \rho_{i-1,2}^2 + \dots}$$
 (8.10)

Так, при обработке проката круглого сечения в центрах получим

$$\rho_{i-1}^{\Sigma} = \sqrt{\rho_{\kappa}^2 + \rho_{\mu}^2} , \qquad (8.11)$$

где ρ_{κ} – общее отклонение оси от прямолинейности;

 $\rho_{\text{ц}}$ — смещение оси заготовки в результате погрешности расположения центровых отверстий, которая определяется при известном допуске T диаметрального размера базы заготовки, использованной при центровании, соотношениями:

- при установке в самоцентрирующих зажимных устройствах $\rho_{\rm H} = 0.25$ мм;
- при установке в призмах с односторонним прижимом

$$\rho_{_{\rm II}} = \sqrt{T^2 / 2 + 0.25} \,$$
 при $\alpha = 90^{\rm o}$, (8.12)

где α — угол призмы.

После расчета минимальных значений припусков для всех технологических переходов определяют расчетные размеры D_{pi} , начиная с конечного (чертежного) размера, путем последовательного добавления (для наружных поверхностей) или вычитания (для внутренних поверхностей) минимального расчетного припуска для каждого технологического перехода.

Для каждого промежуточного расчетного размера $D_{\rm pi}$ назначаются допуски в соответствии с таблицей А.4. При этом учитывается достигнутый квалитет точности на каждом технологическом переходе, который устанавливается с учетом таблицы точности обработки. Для промежуточных размеров предельные отклонения устанавливают таким образом, чтобы выполнялось требование «допуск в металл». Это означает, что для валов выбирают поле допуска h, а для отверстий — H соответствующего квалитета точности.

Расчет удобно вести в табличной форме. Определяют общие припуски Z_{omax} и Z_{omin} путем суммирования промежуточных припусков на обработку.

Общий номинальный припуск рассчитывают по следующим формулам:

- для наружных поверхностей

$$Z_{\text{ofo.Hom}} = Z_{\text{o min}} + EI_3 - EI_{\pi}, \qquad (8.13)$$

где EI_3 , EI_{π} – нижнее отклонение размера заготовки и детали;

- для внутренних поверхностей

$$Z_{\text{o6.Hom}} = Z_{\text{o max}} + ES_3 - ES_{\pi},$$
 (8.14)

где ES_3 , ES_{π} — верхнее отклонение размера заготовки и детали.

Пример – Назначить технологический маршрут обработки, обеспечивающий заданную точность и требуемую шероховатость, рассчитать операционные припуски на механическую обработку и предельные промежуточные размеры для

ступени вала Ø18_{-0,021}, R_a = 1,6 мкм, длина заготовки $L_{\rm заг}$ = 105 мм, длина детали $L_{\rm дет}$ = 100 мм. Заготовка представляет собой пруток круглой горячекатаной стали диаметром 20 мм.

Решение

Назначаем технологический маршрут обработки поверхности вала Ø18_{-0,021} с шероховатостью $R_a = 1,6$ мкм. Согласно таблицы А.5 маршрут обработки ступени вала состоит из *обтачивания предварительного*, *обтачивания чистового*, *шлифования однократного*. Обработка ведется в центрах.

Записываем технологический маршрут обработки в расчетную таблицу 8.1 и вносим туда значения элементов припуска $R_{z\,i-1}$ и T_{i-1} по каждому технологическому переходу, используя справочные данные таблиц A.6 и A.7.

Техноло-	Элем	ент пр мкм		ка,	Рас- чет-	_	П	Предельный		Предельный	
гический					ный	ный	До- пуск	разме	ер, мм	припус	ск, мкм
переход					при-	размер	Td,				
обработки	Rz_{i-1}	T_{i-1}	ρ <i>i</i> –1	εi	пуск	$d_{\mathrm{p}i} = d_{\mathrm{min}},$	мкм	$d_{ m min}$	$d_{ m max}$	$2Z_{\min}^{\pi p}$	$2Z_{\max}^{\text{np}}$
вала					$2Z_{i \text{ min}}$	MM		Comm	Williax	22 min	max
					MKM						
Заготовка	150	150	673	0	_	20,329	900	20,329	21,229	_	_
1 Точение	50	50	40	0	2 · 973	18,383	430	18,383	18,813	1946	2416
черновое											
2 Точение	30	30	2	0	2 · 140	18,103	43	18,103	18,146	280	667
чистовое											
3 Шлифо-	5	15		0	2 · 62	17,979	21	17,979	18,0	124	196
вание чи-											
стовое											
Итого										2350	3229

Таблица 8.1 – Расчет припусков на механическую обработку ступени вала Ø18-0,021

Так как обработка ведется в центрах, погрешность установки для диаметральных размеров принимается равной нулю на каждом технологическом переходе ($\varepsilon_i = 0$).

Суммарное пространственное отклонение ρ^{Σ}_{i-1} для заготовки определяется геометрической суммой кривизны проката ρ_{i-1} и погрешности зацентровки заготовки ρ_{Π} по формуле (8.11):

$$\rho_{i-1}^{\Sigma} = \sqrt{\rho_{\kappa}^2 + \rho_{\mu}^2} ,$$

при этом

$$\rho_{\rm k} = \Delta_{\rm k} L = 0.5 \cdot 50 = 25 \text{ MKM},$$

где Δ_{κ} – удельная кривизна заготовки, для проката Δ_{κ} определяем по таблице A.3, для проката обычной точности $\Delta_{\kappa} = 0.5$ мкм при длине заготовки $L_{3ar} = 105$ мм;

L — длина, принимается равной половине длины детали, $L=L_{\rm дет}/2=100/2=50$ мм.

$$\rho_{\text{II}} = \sqrt{\left(\frac{T_3}{2}\right)^2 + 0.25} = \sqrt{\left(\frac{0.9}{2}\right)^2 + 0.25} = 0.673 \text{ mm} = 673 \text{ mkm},$$

где T_3 — допуск на базовый (при обработке центровых отверстий) диаметр заготовки (рассчитывается по данным таблицы A.8).

Для обработки ступени вала диаметром 18 мм по таблице А.8 предварительно принимаем диаметр проката (заготовки) $20^{+0.4}_{-0.5}$ мм. Тогда допуск на принятый диаметр заготовки составит

$$T_3 = +0.4 - (-0.5) = 0.9$$
 mm.

Следовательно,

$$\rho_{i-1}^{\Sigma} = \sqrt{25^2 + 673^2} = 673.4 \text{ MKM},$$

принимаем $\rho_{i-1}^{\Sigma} = 673 \,\text{мкм}.$

Остаточное пространственное отклонение после каждого технологического перехода определяем при помощи коэффициента уточнения K_y , который выберем по таблице A.9. После чернового точения $K_y = 0.06$, после чистового точения $K_v = 0.04$.

Тогда после чернового точения

$$\rho_{\text{oct}}^{\text{черн}} = K_{v} \cdot \rho^{\Sigma} = 0.06 \cdot 673 = 40.38 \approx 40 \text{ MKM},$$

после чистового точения

$$\rho_{\,\rm oct}^{\,\rm чист} = K_{_{\rm Y}} \cdot \rho_{\,\rm oct}^{\,\rm черh} = 0.04 \cdot 40.38 = 1.62 \approx 2$$
 мкм .

Все три расчетных значения записываем в таблицу 8.1.

Расчет минимальных значений припусков производим, используя формулу (8.2):

– для чернового точения

$$2Z_{\min}^{\text{черн}} = 2 \cdot (150 + 150 + 673) = 2 \cdot 973 \text{ MKM};$$

– для чистового точения

$$2Z_{\min}^{\text{quct}} = 2 \cdot (50 + 50 + 40) = 2 \cdot 140 \text{ MKM};$$

– для шлифования

$$2Z_{\min}^{\min} = 2 \cdot (30 + 30 + 2) = 2 \cdot 62 \text{ MKM}.$$

Полученные значения припусков заносим в таблицу 8.1.

Графу таблицы 8.1 «Расчетный размер d_p » заполняем, начиная с конечного (чертежного) размера $d_{\min \text{дет}} = 18 - 0.021 = 17.979$ мм, путем последовательного сложения расчетного минимального припуска каждого технологического перехода:

$$d_{\rm p}^{\rm шл} = d_{\rm min\; дет} + 2Z_{\rm min}^{\rm шли\varphi} = 17,979 + 2\cdot 0,062 = 18,103\;{\rm mm}\,;$$

$$d_{\rm p}^{\rm чист} = d_{\rm p}^{\rm шл} + 2Z_{\rm min}^{\rm чист} = 18,103 + 2\cdot 0,14 = 18,383\;{\rm mm}\,;$$

$$d_{\rm p}^{\rm черн} = d_{\rm p}^{\rm чист} + 2Z_{\rm min}^{\rm черн} = 18,383 + 2\cdot 0,973 = 20,329\;{\rm mm}\,.$$

Наибольшие предельные размеры находим путем прибавления допуска к округленному наименьшему предельному размеру. Округление производим до того же знака десятичной дроби, с каким дан допуск на размер для каждого перехода. Значения допусков для каждого перехода принимаются по таблицам в соответствии с квалитетом того или иного вида обработки. Находим допуски на каждый технологический переход и заготовку и заносим в таблицу. Для шлифования допуск равен допуску на чертежный размер $18_{-0.021}$, т. е. $Td_{\text{шл}} = 21$ мкм. Согласно таблице А.5 черновое (предварительное) точение обеспечивает квалитет точности 14...12. По таблице А.4 находим $Td_{\text{черн}} = 430$ мкм (по 14-му квалитету). Чистовое точение обеспечивает квалитет точности 9...8. По той же таблице находим $Td_{\text{чист}} = 43$ мкм (по 9-му квалитету). Для заготовки допуск определим исходя из предельных отклонений для проката по таблице А.8. Для диаметра $20_{-0.5}^{+0.4}$ $Td_{\text{заг}} = 900$ мкм.

$$d_{\text{max}}^{\text{шлиф}} = 17,979 + 0,021 = 18,0 \text{ мм};$$
 $d_{\text{max}}^{\text{чист}} = 18,103 + 0,043 = 18,146 \text{ мм};$ $d_{\text{max}}^{\text{черн}} = 18,383 + 0,43 = 18,813 \text{ мм};$

$$d_{\text{max}}^{3\text{ar}} = 20,329 + 0.9 = 21,229 \text{ MM}$$
.

Предельные значения припусков $z_{\max}^{\text{пр}}$ определяем как разность наибольших предельных размеров.

$$2Z_{\text{max черн}}^{\text{пр}} = 21,229 - 18,813 = 2,416 \text{ mm};$$

$$2Z_{\text{max чист}}^{\text{пр}} = 18,813 - 18,146 = 0,667 \text{ мм};$$

$$2Z_{\text{max iiii}}^{\text{tip}} = 18,146 - 18,0 = 0,146 \text{ mm}$$
.

Общие припуски $Z_{0 \text{ min}}$ и $Z_{0 \text{ max}}$ определяем, суммируя промежуточные припуски, и записываем их значения внизу соответствующих граф расчетной таблицы:

$$2Z_{\text{o min}} = 124 + 280 + 1946 = 2350 \text{ MKM};$$

$$2Z_{o \text{ max}} = 146 + 667 + 2416 = 3229 \text{ MKM}.$$

Общий номинальный припуск для наружных поверхностей определяем по формуле (8.13):

$$Z_{\text{OD HOM}} = 2350 + 500 - 21 = 2829 \text{ MKM}$$
.

Номинальный размер заготовки

$$d_{3,\text{HOM}} = d_{7,\text{HOM}} + Z_{\text{OG,HOM}} = 18 + 2,829 = 20,829 \text{ MM}.$$

Окончательно принимаем стандартный диаметр (заготовки) проката $21^{+0.4}_{-0.5}$ по таблице A.8.

Задание

Для ступени вала $d_{\text{дет}}$ назначить рациональный технологический маршрут обработки, обеспечивающий заданную точность и требуемую шероховатость, рассчитать операционные припуски на механическую обработку, предельные промежуточные размеры. Заготовка представляет собой пруток круглой горячекатаной стали. Диаметр заготовки можно ориентировочно принимать: $d_{\text{дет}} + 2...3$ мм. Длина заготовки $L_{\text{дет}} + 5$ мм. Исходные данные для расчета припусков выбрать из таблицы 8.2.

Номер Шерохова-Шерохова-Размер вала, мм Размер вала, мм Номер варитость R_a , тость варианта $d_{\text{дет}}$ $d_{\text{дет}}$ $L_{\rm дет}$ $L_{\text{дет}}$ анта MKM R_a , MKM 25 *h*9 60 h10 1 125 3,2 6 175 3,2 35 *h*9 7 2 160 3,2 62 *h*6 260 1,6 3 45 h7 215 1,6 8 28 h7 180 1,6 4 55 h8 110 3,2 40 h7120 1,6 5 300 3,2 320 58 *h*9 10 54 h6 1.6

Таблица 8.2 – Исходные данные к заданию для расчета припусков

9 Практическое занятие № 8. Назначение и расчет режимов резания. Техническое нормирование станочных работ

Расчет режимов резания выполняется с использованием аналитических формул [3, 5, 9].

Расчет режимов резания для всех операций начинается с описания исходных условий обработки, которые включают:

- номер и наименование операции;
- краткое содержание операции;
- наименование и модель станка;
- наименование режущего инструмента, его размеры, марку материала режущей части.

Далее определяется глубина резания с учетом величины припуска и маршрутной технологии обработки поверхности (черновая обработка, чистовая, отделочная). При этом на чистовую и отделочную обработку оставляют, как правило, 20 %...30 % общего припуска.

Подача на оборот S_0 (подача на зуб S_z при фрезеровании) выбирается в зависимости от глубины резания по [5]. Справочные значения подачи корректируются и принимаются окончательно по паспортным данным станка выбранной модели.

Скорость резания V_p рассчитывается по формулам теории резания. По полученному значению скорости определяется расчетная частота вращения шпинделя:

$$n = \frac{1000 \, V_{\rm p}}{\pi \, D} \,, \tag{9.1}$$

где D – диаметр детали или инструмента.

Полученное значение частоты вращения корректируется (принимается меньшее) по паспорту станка. По принятой частоте вращения рассчитывается действительная скорость резания

$$V_{_{\rm I}} = \frac{\pi \, D \, n}{1000} \,. \tag{9.2}$$

После расчета режимов резания определяется тангенциальная сила резания P_z , которая лежит в основе расчета эффективной мощности резания N_e . По значению N_e проверяется возможность обработки на выбранном станке по мощности привода главного рабочего движения этого станка $N_{\rm cr}$. При этом учитывают КПД станка, который принимается равным 0.85...0.90.

Расчет норм времени выполняется в соответствии с методикой, представленной в [3, 4, 7, 8, 10].

В крупносерийном (и массовом) производстве рассчитывается норма штучного времени по формуле

$$t_{\text{IIIT}} = t_{\text{O}} + t_{\text{B}} + t_{\text{OGC}} + t_{\text{OTJI}},$$
 (9.3)

где $t_{\rm o}$ – основное время;

 $t_{\rm B}$ — вспомогательное время;

 $t_{\text{об}c}$ – время на обслуживание рабочего места;

 $t_{\text{отд}}$ – время на отдых.

В мелкосерийном и среднесерийном производстве определяется норма штучно-калькуляционного времени:

$$t_{\text{III-K}} = t_{\text{IIIT}} + \frac{t_{\text{II}.3}}{n},$$
 (9.4)

где $t_{\text{п.3}}$ — подготовительно-заключительное время;

n — размер партии деталей.

Расчет основного времени t_0 обработки заготовки определяется с учетом установленной величины минутной подачи [6].

Вспомогательное время $t_{\rm B}$ состоит из затрат времени на отдельные приемы:

$$t_{\rm B} = t_{\rm yc} + t_{\rm 3.0} + t_{\rm y\pi} + t_{\rm H3} , \qquad (9.5)$$

где t_{yc} – время на установку и снятие детали;

 $t_{3.0}$ — время на закрепление и открепление детали;

 t_{yn} — время на приемы управления станком;

 $t_{\text{из}}$ – время на измерение детали.

Оперативное время определяется по формуле

$$t_{\text{OII}} = t_{\text{O}} + t_{\text{B}}.$$
 (9.6)

Время на обслуживание рабочего места и время на отдых $t_{\text{обс}}$ и $t_{\text{отд}}$ в серийном производстве по отдельности не определяются. В нормативах дается сумма этих двух составляющих в процентах от оперативного времени $t_{\text{оп}}$.

Время на обслуживание рабочего места $t_{\text{обс}}$ в крупносерийном производстве слагается из времени на организационное обслуживание $t_{\text{орг}}$ и времени на техническое обслуживание $t_{\text{тех}}$:

$$t_{\rm obc} = t_{\rm opr} + t_{\rm rex}. \tag{9.7}$$

Подготовительно-заключительное время состоит из ряда составляющих:

- время на получение инструментов и приспособления до начала работы на станке;
 - время на наладку станка и установку инструментов и приспособления;
- время перемещений и поворотов рабочих органов станка, на настройку цепей рабочих движений станка;
 - время на установку, выверку и регулировку положений упоров;
- время на снятие и сдачу инструментов и приспособлений после окончания обработки партии деталей на станке.

Величину штучно-калькуляционного времени для единичного и мелкосерийного, а также крупносерийного производства можно также определить приближенно по зависимости $t_{\text{шт-к}} = k \cdot t_0$, в которой величина коэффициента k выбирается из таблицы 9.1.

Таблица 9.1 — Значения коэффициента k для приближенного определения штучно-калькуляционного времени по величине основного времени

	Тип производства				
Вид металлорежущих станков	Единичное и мелкосерийное	Крупносерийное			
	Коэффицие	ент k			
Токарные	2,14	1,36			
Токарно-револьверные	1,98	1,35			
Токарные многорезцовые	_	1,50			
Вертикально-сверлильные	1,72	1,30			
Радиально-сверлильные	1,75	1,41			
Расточные	3,25	_			
Круглошлифовальные	2,10	1,55			
Строгальные	1,73	_			
Фрезерные	1,84	1,51			
Зуборезные	1,66	1,27			

Составляющие норм штучного или штучно-калькуляционного времени можно найти в [4, 8].

Залание

Для заданного преподавателем технологического процесса и типа производства рассчитать режимы резания на отдельные операции и нормы времени. Результаты свести в таблицы 9.2 и 9.3.

Таблица 9.2 – Сводная таблица режимов резания

номер	Наименова-	бина	Длина реза-	мм/о	б	M/		щени	ота вра- я, мин ⁻¹	Минут-	Основ-
опера- ции (перехода)	реза- ния <i>t</i> , мм	ния <i>l</i> _{рез} , мм	расчет- ная	при- ня- тая	рас- чет- ная	приня- тая	рас- чет- ная	приня- тая	~	время	

Таблица 9.3 – Сводная таблица норм времени

В минутах

$t_{\text{пи }}$ $t_{\text{орг}}$ $t_{\text{тех}}$ $t_{\text{п.3}}$ $t_{\text{шт-к}}$	Но- мер опе- ра- ции	Наиме- нование опера- ции	Ос- нов- ное время <i>t</i> ₀	те вр	ельн оемя	oe 1 t ₈	Опера- тивное время <i>t</i> оп	обо жив рабо ме	ания очего ста	на от-	Штуч- ное время <i>t</i> шт	товит закл. время	Вели- чина пар- тии <i>п</i>	калькуля- ционное время
---	----------------------------------	------------------------------------	--	----------	--------------	------------------------	--	--------------------------	----------------------	--------	--------------------------------------	-------------------------	---------------------------------------	-------------------------------

Список литературы

- 1 **Скворцов**, **В. Ф.** Основы технологии машиностроения: учеб. пособие / В. Ф. Скворцов. М.: ИНФРА-М, 2021. 330 с.
- 2 **Жолобов, А. А.** Технология машиностроения: учеб. пособие: в 2 ч. Ч. 1: Формообразование деталей и сборка узлов машин / А. А. Жолобов, А. М Федоренко. Минск: РИВШ, 2020.-520 с.
- 3 **Жолобов, А. А.** Практикум по технологии машиностроения: учеб. пособие / А. А. Жолобов, И. Д. Камчицкая, А. М. Федоренко; под ред. А. А. Жолобова. Минск: РИВШ, 2020. 316 с.
- 4 Справочник технолога-машиностроителя: в 2 т. / под ред. А. Г. Косиловой и Р. К. Мещерякова. М. : Машиностроение, 1986. Т. 1. 656 с.
- 5 Справочник технолога-машиностроителя: в 2 т. / под ред. А. Г. Косиловой, Р. К. Мещерякова. М. : Машиностроение, 1985. Т. 2. 496 с.
- 6 Технология машиностроения: учебник: в 2 т. Т. 1: Основы технологии машиностроения / под ред. А. М. Дальского. М. : МГТУ им. Н. Э. Баумана, 2008.-278 с.
- 7 **Маталин, А. А.** Технология машиностроения: учебник для машиностроительных вузов по специальности «Технология машиностроения, металлорежущие станки и инструменты» / А. А. Маталин. Л. : Машиностроение, Ленингр. отд-ние, 1985. 496 с.
- 8 **Косилова**, **А.** Γ . Справочник технолога-машиностроителя: в 2 т. / А. Γ . Косилова. М. : Книга по Требованию, 2023. Т. 1 655 с.
- 9 **Косилова, А. Г.** Справочник технолога-машиностроителя: в 2 т. / А. Г. Косилова. М. : Книга по Требованию, 2023. Т. 2 496 с.
- 10 **Маталин, А. А.** Технология машиностроения: учебник / А. А. Маталин. 4-е изд., стер. СПб. : Лань, 2016. 512 с.

Приложение А (рекомендуемое)

Таблица А.1 – Значение функции Лапласа $\Phi_0(t) = \frac{1}{2\pi} \int_0^t e^{-\frac{t^2}{2}} dt$

T	0	1	2	3	4	5	6	7	8	9
0,0	0000	0040	0080	0120	0160	0199	0239	0279	0319	0359
0,1	0398	0438	0478	0517	0557	0596	0636	0675	0714	0753
0,2	0793	0832	0871	0909	0948	0987	1026	1064	1103	1141
0,3	1179	1217	1255	1293	1331	1368	1406	1443	1480	1517
0,4	1555	1591	1628	1664	1700	1735	1776	1808	1844	1879
0,5	1915	1950	1985	2019	2045	2088	2123	2157	2190	2224
0,6	2257	2291	2324	2357	2389	2422	2454	2486	2517	2549
0,7	2580	2611	2642	2673	2703	2734	2764	2794	2823	2852
0,8	2881	2910	2939	2967	2995	3023.	3051	3078	3106	3133
0,9	3159	3186	3212	3238	3264	3289	3315	3340	3365	3389
1,0	3413	3438	3461	3485	3508	3531	355 1	3577	3599	3621
1,1	3643	3665	3686	3708	3729	3749	3770	3790	3810	3830
1,2	3849	3869	3888	3907	3925	3944	3962	3980	3997	4015
1,3	4032	4049	4066	4082	4099	4115	4131	4147	4162	4177
1,4	4192	4207	4222	4235	4251	4265	4279	4292	4306	4219
1,5	4332	4345	43-57	4370	4382	4394	4405	4418	4429	4441
1,6	4452	4463	4171	4484	4495	4505	4515	4525	4535	4545
1,7	4554	4564	4573	4582	4591	4509	4608	4616	4625	4633
1,8	4641	4649	4656	4664	4671	4678	4686	4693	4699	4706
1,9	4713	4719	4726	4732	4738	4744	4750	4756	4761	4767
2,0	4772	4778	4783	4788	4793	4798	4803	4808	4812	4817
2,1	4821	4826	4830	4834	4838	4842	4846	4850	4854	4857
2,2	4861	4865	4868	4871	4875	4878	4881	4884	4887	4890
2,3	4893	4896	4898	4901	4904	4906	4909	4911	4913	4916
2,4	4918	4920	4922	4925	4927	4929	4931	4932	4934	4936
2,5	4938	4940	4941	4943	4945	4945	4948	4949	4951	4952
2,6	4953	4955	4956	4957	4959	4966	4961	4962	4963	4964
2,7	4965	4966	4967	4968	4969	4970	4971	4972	4973	4974
2,8	4974	4975	4976	4977	4977	4978	4979	4979	4980	4981
2,9	4981	4982	4982	4983	4984	4985	4985	4985	4986	4986
3,0	9865	9869	9874	9878	9882	9886	9889	9893	9896	9900
3,1	9903	9906	9909	9912	9916	9918	9921	9924	9926	9929
3,2	9931	9934	9933	9938	9940	9942	9944	9946	9948	9950
3,3	9952	9954	9955	9957	9958	9960	9961	9962	9964	9965
3,4	9966	9968	9969	9970	9971	9972	9973	9974	9975	9976

Примечание — Значение 0 для $\Phi_0(z)$ опущено, а для z=3,0...3,9 опущено 0,4 (помещены десятичные значения, начиная со второго знака после запятой). Например: z=3,25; $\Phi_0(z)=0,49942$

Таблица А.2 – Погрешности базирования при установке деталей в приспособления

Базирование	Схема установки	Погрешность базирования для размеров
1 По центровым отверстиям на жесткий передний центр	2	$ \begin{aligned} \varepsilon_{D1} &= 0; & \varepsilon_{D2} &= 0; \\ \varepsilon_{a} &= 0; & \varepsilon_{b} &= \Delta_{\Pi}; \\ \varepsilon_{c} &= \Delta_{\Pi} \end{aligned} $
На плавающий передний центр		$ \varepsilon_{D1} = 0; \varepsilon_{D2} = 0; $ $ \varepsilon_{a} = 0; \varepsilon_{b} = 0; $ $ \varepsilon_{II} = 0 $
По внешней поверхности зажимной цанги по упору		$\varepsilon_D = 0; \varepsilon_L = 0$
В самоцентрирующемся патроне с упором торцом		При параллельном подрезании торца $\epsilon_{D1} = 0; \epsilon_d = 0; \\ \epsilon_a = 0; \epsilon_b = 0$
В самоцентрирующихся призмах		$\varepsilon_d = 0$
В призме при обработке отверстий по кондуктору	и нанадуатарная от видина	$\varepsilon_l = \frac{\delta_D}{2\sin\frac{\alpha}{2}}$
На плоской поверхности при обработке поверхности по кондуктору	Мондуктарная Впулка Т	$\varepsilon_l = \frac{\delta_D}{2}$

Окончание таблицы А.2

1	2	3
В призме при обработке плоскости или паза		$\varepsilon_h = \delta_D / 2\sin\frac{\alpha}{2} \left(1/\sin\frac{\alpha}{2} - 1 \right);$ $\varepsilon_n = \delta_D / 2\sin\frac{\alpha}{2} \left(1/\sin\frac{\alpha}{2} + 1 \right);$ $\varepsilon_m = \delta_D / 2\sin\frac{\alpha}{2}$
В призме при обработке плоскости или паза		$\varepsilon_b = 0$
В призме при обработке плоскости или паза		$ \varepsilon_l = \frac{\delta_D}{2}; \varepsilon_m = 0 $
По отверстию на жесткой оправке со свободной посадкой		$\epsilon_{D1} = s_{\min} + \delta_B + \delta_A;$ $\epsilon_{D2} = s_{\min} + \delta_B + \delta_A;$ $\epsilon_h = s_{\min} + \delta_B + \delta_A.$ При установке оправки на плавающий передний центр, в гильзу или патрон по упору $\epsilon_a = 0; \epsilon_b = 0$
На разжимной жесткой оправке с натягом		При установке оправки на жесткий передний центр $\epsilon_{D1} = 0; \epsilon_{D2} = 0; \epsilon_h = 0; \\ \epsilon_a = 0; \epsilon_b = \delta_a$
По двум отверстиям на пальцах при обработке верхней поверхности	l ₁ l sel	$\varepsilon_{h1} = s_{\min} + \delta_B + \delta_A;$ $\varepsilon_{h2} = \left(s_{\min} + \delta_A + \delta_B\right) \left(\frac{2l_1 + l}{l}\right)$
По плоскости при обработке уступа		$\varepsilon_b = \delta_a; \varepsilon_k = \delta_l; \varepsilon_c = 0$

Примечание - δ_A - допуск на размер базового отверстия; δ_B - допуск на размер оправки; s_{min} - минимальный гарантированный зазор; $\Delta_{\text{ц}}$ - просадка центров. При диаметрах центровых отверстий, равных 1; 2 и 2,5 мм, $\Delta_{\text{ц}}$ = 0,11 мм; при диаметрах центровых отверстий 4; 5 и 6 мм $\Delta_{\text{ц}}$ = 0,14 мм

Таблица A.3 – Удельная кривизна заготовок из проката Δ_{κ} на 1 мм длины

V		Длина проката, мм							
Характеристика проката	до 120	120180	180315	315400	400500				
Без правки при точности									
прокатки, мкм:									
обычной	0,5	1,0	1,5	2,0	2,5				
высокой	0,1	0,2	0,3	0,4	0,4				

Таблица А.4 – Допуски для размеров от 1 до 500 мм по ГОСТ 25346–82

Интервал					Kı	валите	т точно	ости				
размеров,	6	7	8	9	10	11	12	13	14	15	16	17
MM		•	•	•		Допу	ск, мк	M	•	•	•	
От 1 до 3	6	10	14	25	40	60	100	140	250	400	600	1000
Св. 3 до 6	8	12	18	30	48	75	120	180	300	480	750	1200
Св. 6 до 10	9	15	22	36	58	90	150	220	360	580	900	1500
Св. 10 до 18	11	18	27	43	70	110	180	270	430	700	1100	1800
Св. 18 до 30	13	21	33	52	84	130	210	330	520	840	1300	2100
Св. 30 до 50	16	25	39	62	100	160	250	390	620	1000	1600	2500
Св. 50 до 80	19	30	46	74	120	190	300	460	740	1200	1900	3000
Св. 80 до 120	22	35	54	87	140	220	350	540	870	1400	2200	3500
Св. 120 до 180	25	40	63	100	160	250	400	630	1000	1600	2500	4000
Св. 180 до 250	29	46	72	115	185	290	460	720	1150	1850	2900	4600
Св. 250 до 315	32	52	81	130	210	320	520	810	1300	2100	3200	5200
Св. 315 до 400	36	57	89	140	230	360	570	890	1400	2300	3600	5700
Св. 400 до 500	40	63	97	155	250	400	630	970	1550	2500	4000	6300

Таблица A.5 – Средняя точность обработки и шероховатость обработанной поверхности при обработке поверхностей тел вращения

Способ обработки	Квалитет точности	Параметр шероховатости R_a , мкм
1	2	3
Обтачивание однократное	1412	12,56,3
Обтачивание предварительное	1411	12,56,3
Обтачивание чистовое	108	6,33,2
Обтачивание предварительное	1411	12,56,3
Обтачивание чистовое	108	6,33,2
Шлифование однократное	76	2,50,8
Обтачивание предварительное	1411	12,56,3
Обтачивание чистовое	108	6,33,2
Обтачивание тонкое	76	1,60,4

Окончание таблицы А.5

1	2	3
Обтачивание однократное	1311	12,56,3
Шлифование предварительное	98	6,33,2
Шлифование чистовое	76	1,60,4
Обтачивание предварительное	1411	12,56,3
Обтачивание чистовое	108	6,33,2
Шлифование предварительное	98	3,21,6
Шлифование чистовое	76	0,80,4
Обтачивание предварительное	1411	12,56,3
Обтачивание чистовое	108	6,33,2
Шлифование предварительное	76	3,21,6
Шлифование тонкое	65	1,60,2
Обтачивание предварительное	1411	12,56,3
Обтачивание чистовое	108	6,33,2
Шлифование предварительное	76	3,21,6
Шлифование чистовое	65	0,80,4
Шлифование тонкое	5	0,20,1

Таблица А.6 – Качество поверхности заготовок из проката

Вид заготовки	R_z , мкм	T, mkm
Горячекатаный		
для диаметра, мм:		
525	150	150
2675	150	250
80150	200	300
160250	300	400
Калиброванный гладкотянутый	60	60
Калиброванный шлифованный	10	20

Таблица А.7 – Параметры, достигаемые после механической обработки

Вид обработки	R_a , мкм	$R_{\rm z}$, мкм	T, mkm
Обдирочная обработка лезвийным инструментом отливок,	2512,5	100	100
горячего проката, поковок с большими припусками			
Черновая обработка лезвийным инструментом заготовок	12,56,3	50	50
всех видов			
Чистовая обработка лезвийным инструментом и	6,33,2	30	30
однократная обработка заготовок с малыми припусками			
Тонкая обработка лезвийным инструментом	0,80,4	3	15
Шлифование предварительное	1,6	10	20
Шлифование чистовое	0,80,4	5	15

Таблица А.8 – Сортамент круглого горячекатаного проката по ГОСТ 2590–70

Диаметр,	Допуск,	Диаметр,	Допуск,	Диаметр,	Допуск,	Диаметр,	Допуск,
MM	MM	MM	MM	MM	MM	MM	MM
1019	10.2	54	+0,4	68	+0,5	100	+0,6
(через	+0,3 -0,5	55	-1,0	70	-1,1	105	-1,7
1 mm)	-0,3	56		72		110	
2025	+0,4	58		75		115	
	-0,5	59		78		120	
3048	+0,4	60	+0,5	80	+0,5		
	-0,7	62	-1,1	82	-1,3		
50	+0.4	63		85			
52	+0,4	65		90			
53	-1,0	67		95			

Примечание – Допуски приведены для проката обычной точности

Таблица А.9 — Коэффициент уточнения для различных видов заготовок и методов обработки K_y

Вид заготовки и методы обработки			
Однократное черновое точение штампованных заготовок, заготовок из горячека-			
таного проката, предварительное шлифование проката классов точности За и 4			
Получистовая обработка заготовок из проката, штампованных заготовок, рас-	0,05		
сверливание отверстий, смещение оси отверстия после черновой обработки			
Чистовое точение заготовок из сортового проката обыкновенного качества, штам-	0,04		
пованных заготовок, после первого технологического перехода обработки литых			
заготовок, после чистового шлифования проката классов точности За и 4			
Двухкратное обтачивание калиброванного проката или двухкратное шлифование			
заготовок после токарной обработки			